

01
Идентификация квантовых вихрей в импульсном пространстве

© Н.В. Ларионов, В.М. Молчановский

Санкт-Петербургский государственный морской технический университет,
 190121 Санкт-Петербург, Россия
 e-mail:larionov.nickolay@gmail.com

Поступила в редакцию 19.05.2023 г.
 В окончательной редакции 03.07.2023 г.
 Принята к публикации 30.10.2023 г.

Теоретически исследуются квантовые вихри, образующиеся в результате надбарьерной ионизации двумерного атома водорода сверхкоротким лазерным импульсом. Анализируется поток вероятности в импульсном пространстве. При этом используются как стандартное выражение для потока, так и его „симметричный“ аналог. Последний вследствие чувствительности к фазе волновой функции позволяет идентифицировать квантовые вихри.

Ключевые слова: квантовый вихрь, импульсное представление, поток вероятности.

DOI: 10.61011/OS.2023.11.56998.5238-23

Введение

Одним из нетривиальных эффектов, возникающих при ионизации атома, является образование квантовых вихрей [1–10]. Эти вихри проявляют себя как возмущения в плотности вероятности для фотоэлектрона. Центр вихря представляет собой запрещенную для фотоэлектрона область, вокруг которой векторное поле потока вероятности имеет спиралевидную структуру.

В [4–6], используя как численный, так и аналитический подходы, мы изучали формирование и эволюцию квантовых вихрей, образующихся при надбарьерной ионизации двумерного атома водорода сверхкоротким лазерным импульсом. Аналитический подход был основан на решении уравнения Шредингера с помощью нестационарной теории возмущений. Была получена волновая функция фотоэлектрона, которая успешно использовалась для идентификации центров квантовых вихрей и дальнейшего сравнения с численными расчетами. Однако векторное поле потока вероятности с ее помощью не анализировалось. Здесь мы восполним этот пробел, при этом будем использовать как стандартное выражение для потока в импульсном пространстве, так и альтернативное выражение, чувствительное к фазе волновой функции. Этот альтернативный „поток“ был введен в работе [11] и является величиной, „симметричной“ по отношению к потоку, записанному в координатном представлении.

Теоретическая модель

Будем использовать систему атомных единиц, в которой уравнение Шредингера для двумерного атома водорода, взаимодействующего с лазерным импульсом, имеет вид

$$i \frac{\partial}{\partial t} |\Psi(t)\rangle = (\hat{H}_0 + \hat{V}) |\Psi(t)\rangle, \quad (1)$$

где \hat{H}_0 — гамильтониан свободного атома, $\hat{V} = -\mathbf{d}\mathbf{F}(t)$ — оператор взаимодействия атома с электрическим полем лазера $\mathbf{F}(t)$, $\mathbf{d} = -\hat{\mathbf{r}}$ — оператор дипольного момента.

Как и в предыдущих работах [4–6], будем искать решение уравнения (1) в приближении сильного поля. Это означает, что в расчетах пренебрежем возбужденными состояниями атома и не будем учитывать кулоновское воздействие на фотоэлектрон. Также будем считать, что изменения населенности основного (начального) состояния атома пренебрежимо малы. Тогда решение уравнения Шредингера (1) может быть записано в виде следующей суперпозиции:

$$|\Psi(t)\rangle = |\Psi_{1,0}^{(0)}\rangle e^{-iE_1 t} + \sum_{m=0,\pm 1,\dots} \int_0^\infty b_{k,m}(t) |\Psi_{k,m}^{(0)}\rangle e^{-iE_k t} k dk. \quad (2)$$

Здесь первое слагаемое соответствует основному состоянию атома с энергией $E_1 = -1/2$, характеризуемого вектором $|\Psi_{1,0}^{(0)}\rangle$. Нижние индексы „1, 0“ указывают на значения главного квантового числа $n = 1$ и проекции момента на ось z $m = 0$. Второе слагаемое представлено суперпозицией векторов состояний фотоэлектрона $|\Psi_{k,m}^{(0)}\rangle$, которые будем описывать цилиндрическими волнами. Индексы „ k, m “ указывают на то, что это состояние характеризуется энергией $E_k = k^2/2 = (k_x^2 + k_y^2)/2$ и проекцией момента $m = 0, \pm 1, \pm 2, \dots$

Так как нашей задачей является идентификация квантовых вихрей в импульсном пространстве, то перепишем (2) в соответствующем представлении:

$$\Psi(\mathbf{k}, t) \equiv \langle \mathbf{k} | \Psi(t) \rangle = \frac{2}{(k^2 + 1)^{3/2}} \Phi_0(\varphi_k) e^{-iE_1 t} + \sum_{m=0,\pm 1,\dots} b_{k,m}(t) (-i)^{|m|} \Phi_m(\varphi_k) e^{-iE_k t}, \quad (3)$$

где $\mathbf{k} = (k, \varphi_k)$ — импульс электрона в полярной системе координат, $\Phi_m(\varphi_k) = e^{im\varphi_k} / \sqrt{2\pi}$ и были использованы явные выражения для волновых функций в импульсном представлении [6]:

$$\Psi_{1,0}^{(0)}(\mathbf{k}) \equiv \langle \mathbf{k} | \Psi_{1,0}^{(0)} \rangle = \frac{2\Phi_0(\varphi_k)}{(k^2 + 1)^{3/2}},$$

$$\Psi_{k',m}^{(0)}(\mathbf{k}) \equiv \langle \mathbf{k} | \Psi_{k',m}^{(0)} \rangle = (-i)^{|m|} \frac{\delta(k' - k)}{k'} \Phi_m(\varphi_k). \quad (4)$$

Разложение (3) позволяет вывести замкнутое уравнение для неизвестных коэффициентов $b_{k,m}(t)$. Для этого подставим (3) (или (2)) в уравнение Шредингера (1). Тогда, учитывая явный вид оператора взаимодействия в импульсном представлении:

$$\hat{V} = \mathbf{F}(t)i\partial/\partial\mathbf{k},$$

получаем

$$\begin{aligned} \frac{\partial b_{k,m}(t)}{\partial t} &= \frac{(-i)}{2} (\delta_{m,1} + \delta_{m,-1}) F_x(t) \frac{6ke^{i\omega_k t}}{(k^2 + 1)^{5/2}} \\ &+ \frac{(-i)^{|m-1|-|m|}}{2} F_x(t) \left(\frac{\partial}{\partial k} - ikt - \frac{m-1}{k} \right) b_{k,m-1}(t) \\ &+ \frac{(-i)^{|m+1|-|m|}}{2} F_x(t) \left(\frac{\partial}{\partial k} - ikt + \frac{m+1}{k} \right) b_{k,m+1}(t), \end{aligned} \quad (5)$$

где $\omega_k = (k^2 + 1)/2$ и рассмотрено поле, поляризованное вдоль оси x $\mathbf{F}(t) = (F_x(t), 0)$. Система уравнений (5) соответствует системе, полученной нами ранее в работе [6]. Отличие состоит в более удобной записи без введения знаков \pm, \mp .

Решая систему (5) с помощью теории возмущений, можно получить следующее выражение для части волновой функции (3), соответствующей непрерывному спектру:

$$\begin{aligned} \tilde{\Psi}(\mathbf{k}, t) &= -i \left[b_{k-1,10}^{(1)}(t)\Phi_{-1}(\varphi_k) + b_{k,1,10}^{(1)}(t)\Phi_1(\varphi_k) \right] e^{-iE_k t} \\ &+ b_{k,0,10}^{(2)}(t)\Phi_0(\varphi_k) e^{-iE_k t} \\ &- \left[b_{k-2,10}^{(2)}(t)\Phi_{-2}(\varphi_k) + b_{k,2,10}^{(2)}(t)\Phi_2(\varphi_k) \right] e^{-iE_k t}, \end{aligned} \quad (6)$$

где верхний индекс у амплитуд соответствует порядку теории возмущений [5,6], а добавленный нижний индекс „10“ указывает на начальное связанное состояние электрона. Знак тильда над Ψ подчеркивает (в [5,6] было принято обозначение $\tilde{\Psi}(\mathbf{k}, t) = b(\mathbf{k}, t)e^{-iE_k t}$), что связанное состояние опущено, т.е. в дальнейшем рассмотрении интерференцией между начальными и конечными состояниями электрона пренебрегается.

Нашей задачей является идентификация квантовых вихрей в импульсном пространстве. Для этого будем использовать следующие два определения для потока вероятности в импульсном пространстве \mathbf{k} :

$$\mathbf{j}(\mathbf{k}, t) = \mathbf{k}|\tilde{\Psi}(\mathbf{k}, t)|^2,$$

$$\bar{\mathbf{j}}(\mathbf{k}, t) = -\frac{1}{2i} \left[\tilde{\Psi}^*(\mathbf{k}, t)\nabla_k \tilde{\Psi}(\mathbf{k}, t) - \tilde{\Psi}(\mathbf{k}, t)\nabla_k \tilde{\Psi}^*(\mathbf{k}, t) \right]. \quad (7)$$

Здесь $\mathbf{j}(\mathbf{k}, t)$ — стандартное выражение для потока вероятности в импульсном пространстве, $\bar{\mathbf{j}}(\mathbf{k}, t)$ — „симметричный“ поток вероятности [11], где $\nabla_k = \partial/\partial\mathbf{k}$.

Как показано ранее [5,6], квантовые вихри, появляющиеся в процессе ионизации атома, обусловлены интерференцией состояний фотоэлектрона. Следовательно, для того чтобы корректно описать эти вихри, необходимо знание о фазе волновой функции. Выделим эту фазу в найденной волновой функции (6):

$$\tilde{\Psi}(\mathbf{k}, t) = |\tilde{\Psi}(\mathbf{k}, t)|e^{i\chi(\mathbf{k}, t)},$$

где $\chi(\mathbf{k}, t)$ — фаза. Если подставить $\tilde{\Psi}(\mathbf{k}, t)$ в стандартное определение потока вероятности $\mathbf{j}(\mathbf{k}, t)$, то фаза $\chi(\mathbf{k}, t)$ исчезнет, а идентификация квантового вихря будет возможна в основном по нулям волновой функции. Другая ситуация для альтернативного потока $\bar{\mathbf{j}}(\mathbf{k}, t)$. В самом деле, подставив $\tilde{\Psi}(\mathbf{k}, t)$ в выражение для $\bar{\mathbf{j}}(\mathbf{k}, t)$, получаем

$$\bar{\mathbf{j}}(\mathbf{k}, t) = -|\tilde{\Psi}(\mathbf{k}, t)|^2 \nabla_k \chi(\mathbf{k}, t).$$

Результаты расчетов и обсуждения

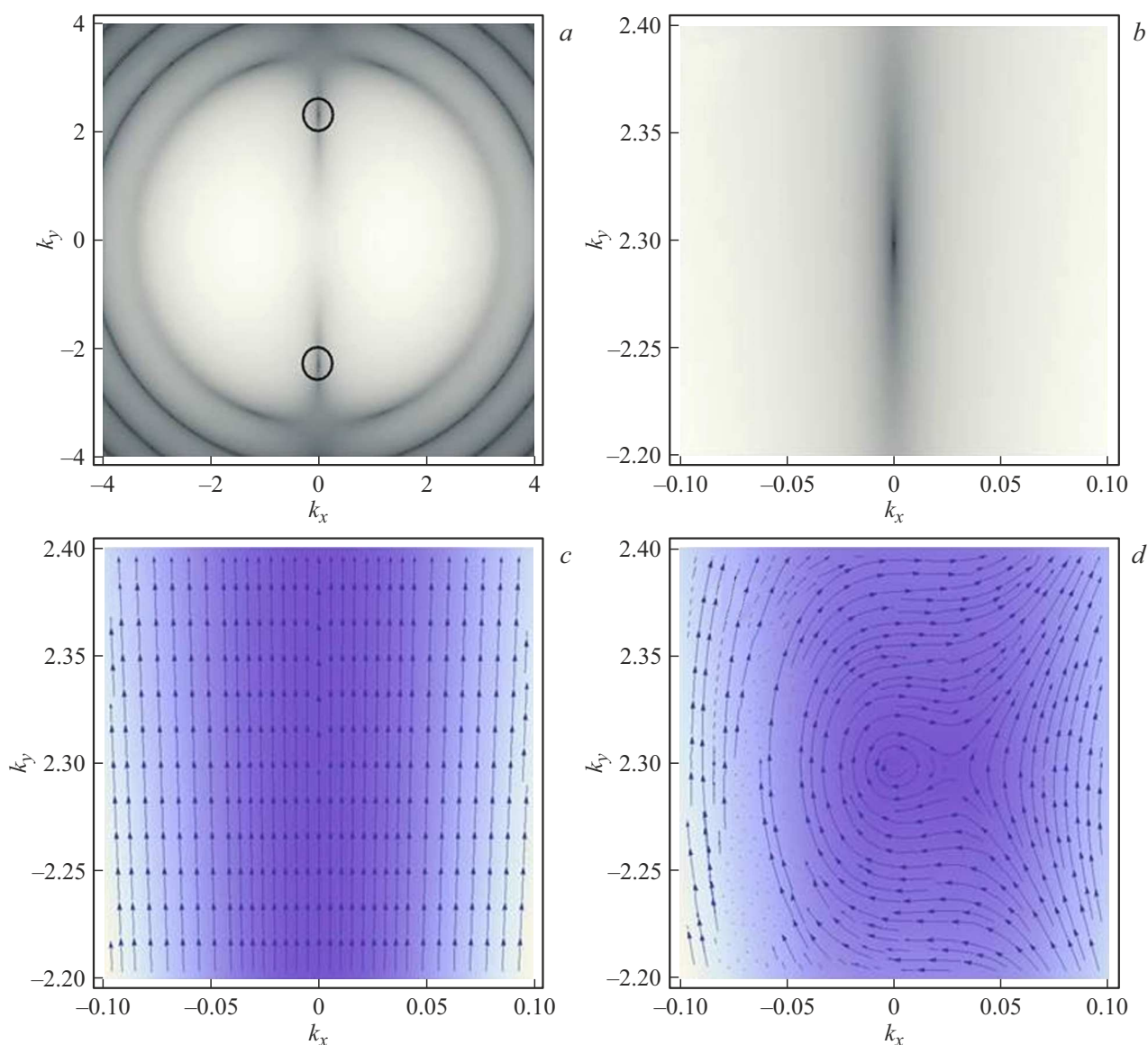
Ненулевую компоненту напряженности поля лазерного импульса промоделируем следующим выражением:

$$F_x(t) = F_0 \cos(\omega t) [\theta(T - t) - \theta(-t)], \quad (8)$$

где $\theta(x)$ — функция Хэвисайда, F_0 — постоянная амплитуда, ω — частота, T — длительность импульса. Значения параметров импульса выберем близкими к тем, для которых ранее были идентифицированы квантовые вихри [4-6]: $F_0 = 0.6$, $\omega = \pi$, $T = 2$. Будем интересоваться установившимся решением, т.е. исследовать $\tilde{\Psi}(\mathbf{k}, t)$ (6) на временах $t > T$.

Сделаем несколько замечаний относительно выбранных параметров. Значение амплитуды поля берется таким, чтобы преобладала надбарьерная ионизация, но при этом $F_0 < 1$. Это позволяет оставаться в пределах используемых теоретических приближений. На „масштаб“ вихря сильно влияет продолжительность импульса T [4]. Как показывают расчеты, при $T < 1$ вихрь не успевает сформироваться и его невозможно идентифицировать. При переходе к большим значениям $T > 10$ запрещенная область постепенно „размазывается“, и в конечном счете вихрь теряет свою индивидуальность, а „картина“ становится похожа на ту, которая имеет место при ионизации монохроматическим полем.

На рисунке представлены графики распределения по импульсам фотоэлектрона $|\tilde{\Psi}(k_x, k_y, t > T)|^2$ (a, b) (для более четкого отображения график строится для $\ln |\tilde{\Psi}|^2$) и соответствующие векторные поля для стандартного потока вероятности $\mathbf{j}(k_x, k_y, t > T)$ (c) и „симметричного“ потока $\bar{\mathbf{j}}(k_x, k_y, t > T)$ (d).



Распределение по импульсам фотоэлектрона (*a*, *b*), векторные поля для стандартного потока вероятности (*c*) и „симметричного“ потока (*d*).

Для выбранных параметров наблюдаются два симметричных вихря с центрами в точках $k_x = 0$, $k_y \approx \pm 2.3$. На рисунке, *a* эти центры выделены кружками, а на рисунке, *b* центр вихря с положительной координатой $k_y \approx 2.3$ показан в увеличенном масштабе.

Рисунок, *c* иллюстрирует векторное поле, соответствующее стандартному току вероятности в импульсном пространстве. Можно видеть, что в окрестности центра вихря $k_x = 0$, $k_y \approx 2.3$ векторное поле никак не выделено и совпадает с усредненным полем скоростей в данной области импульсного пространства. Только более темный фон на графике указывает на наличие запрещенной области для фотоэлектрона.

Совсем по-другому выглядит векторное поле, полученное с помощью „симметричного“ потока, рисунок *d*.

Отчетливо видно, что вокруг нуля волновой функции поле $\vec{j}(k_x, k_y, t > T)$ имеет вихревую структуру, близкую к соленоидальной.

Заключение

Таким образом, показано, что с помощью „симметричного“ выражения для потока вероятности $\vec{j}(\mathbf{k}, t)$ (7), введенного в работе [11], возможно идентифицировать квантовые вихри в импульсном пространстве.

Конфликт интересов

Авторы заявляют, что у них нет конфликта интересов.

Список литературы

- [1] F. Cajiao Vélez, LeiGeng, J.Z. Kamiński, Liang-You Peng, K. Krajewska. *Phys. Rev. A*, **102**, 043102 (2020). DOI: 10.1103/PhysRevA.102.043102
- [2] F. Cajiao Vélez. *Phys. Rev. A*, **104**, 043116 (2021). DOI: 10.1103/PhysRevA.104.043116
- [3] Lei Geng, F. Cajiao Vélez, J.Z. Kamiński, Liang-You Peng, K. Krajewska. *Phys. Rev. A*, **104**, 033111 (2021). DOI: 10.1103/PhysRevA.104.033111
- [4] S.Yu. Ovchinnikov, N.V. Larionov, A.A. Smirnovsky, A.A. Schmidt. *St.Petersburg Polytechnical St. University J. Phys. Math.*, **10** (4), 111–121 (2017). DOI: 10.18721/JPM.10409
- [5] N.V. Larionov, A.A. Smirnovsky, S.Y. Ovchinnikov, A.A. Schmidt. *Tech. Phys.*, **63** (11), 1569–1575 (2018). DOI: 10.1134/S1063784218110166
- [6] N.V. Larionov, A.A. Smirnovsky, D.N. Makarov, S.Y. Ovchinnikov. *JETP*, **129** (6), 949–955 (2019). DOI: 10.1134/S1063776119110062
- [7] J.H. Macek, J.B. Sternberg, S.Y. Ovchinnikov, J.S. Briggs. *Phys. Rev. Lett.*, **104** (3), 033201 (2010). DOI: 10.1103/PhysRevLett.104.033201
- [8] F. Navarrete, R. Della Picca, J. Fiol, R.O. Barrachina. *J. Phys. B*, **46** (11), 115203 (2013). DOI: 10.1088/0953-4075/46/11/115203
- [9] F. Navarrete, R.O. Barrachina. *Nucl. Instr. Meth. Phys. Res. B*, **369**, 72–76 (2016). DOI: 10.1016/j.nimb.2015.09.073
- [10] C.M. DeMars, S.J. Ward, J. Colgan, S. Amami, D.H. Madison. *Atoms*, **8** (2), 26 (2020). DOI: 10.3390/atoms8020026
- [11] R.F. Nalewajski. *J. Math. Chem.*, **53**, 1966–1985 (2015). DOI: 10.1007/s10910-015-0526-2